Vol. 8, No.6
December 1989

# 原子吸收光谱法测定水中痕量钌

# 黄淦泉 钱沙华

(武汉大学环境科学系)

#### 摘 要

本文试验了多种氧化剂对用原子吸收光谱法测定钌的影响。结果表明,在三氯化钌 溶 液中分别加入 NaBiO<sub>3</sub>,(NH<sub>4</sub>)2S<sub>2</sub>O<sub>8</sub>,KIO<sub>4</sub>,KBrO<sub>3</sub>,Ce(SO<sub>4</sub>)2,Ce(SO<sub>4</sub>)2+KBrO<sub>3</sub> 等 试剂,能使测定钌的灵敏度分别提高10,17,19,19,23,37倍,方法的灵敏度(特征浓度)为0.051 $\mu$ g/ml,检出限为0.02 $\mu$ g/ml,测量1.0和0.5 $\mu$ g/ml钌溶液10 次,变 异 系 数 分 别 为1.2% 和2.1%。 水中含 有 50mg/ml K<sup>+</sup>,SO<sub>4</sub><sup>2-</sup>,10mg/ml Na<sup>+</sup>,Ca<sup>2+</sup>,Mg<sup>2+</sup>,1mg/ml Cl<sup>-</sup>不影响钌的测定。探讨了氧化剂的作用机理。本法适于水中痕量钌的测定。

钉是裂变产物中重要组成之一。铀和钚的裂变产物生成钌的稳定同位素和放射性同位素,其裂变产额相当大□□。核爆炸和核动力装置都有一定量的放射钌进入环境中而造成污染;钌的稳定同位素也是很有价值的裂变监测体。因此,钌的分析在环境监测中具有重要意义。

用原子吸收光谱法测定钌,由于灵敏度低而报道较少。前人试图加入铀 离 子 [2]、硫酸铜、硫酸镉 [3] 或 氰 化 钾 [4] 以提高测定钌的灵敏度,但效果均不佳。Schwab 等发现,加入0.13mol/L硝酸镧和0.8mol/L盐酸能使钌的灵敏度提高100%,并可消除多种元素的干扰 [5]。

钉是铂族元素之一,其熔点(2500℃)和沸点(4900℃)都很高,在通常火焰温度下难于原子化,所以用原子吸收光谱法测定钉的灵敏度很低。钉是变价元素,有多种原子价,其中三价钉化合物很稳定,生成的四氧化物RuO<sub>4</sub>,熔点为25℃,沸点约100℃,是挥发性很强的化合物<sup>[6]</sup>。

本文采用铋酸钠、过硫酸铵、过碘酸钾、溴酸钾、硫酸铈等氧化剂使三价钌氧化为 易挥发的四氧化钌,以增加钌的原子化效率,从而达到提高原子吸收光谱法灵敏度的目的。

## 实验部分

#### 1. 仪器和试剂

原子吸收分光光度计 (WF5型); 钌空心阴极灯 (美国Westinghouse); 钌标准溶液 ( $1000\mu g/l$ ); 硫酸高铈等试剂均为分析纯。

### 2. 选定的最佳测量条件

钌吸收线波长 349.9nm; 灯电流4mA; 狭缝 0.1mm; 空气流量 6L/min; 乙炔流量 1.5L/min; 燃烧器高度 5.

## 结果与讨论

#### 1. 不同氧化剂对钌灵敏度影响

铋酸钠、过硫酸铵、过碘酸钾、硫酸高铈和溴酸钾等都是强氧化剂,足以使 $Ru^{3+}$ 氧化成 $Ru^{8+}$ 。为比较这些试剂对钌的增敏效果,在钌含量为1-5  $\mu g/ml$ 、浓度为1 mol/L的硝酸溶液中,分别加入不同的氧化剂,按上述选定条件 测量 钌的吸光度。将钌浓度与吸光度数据经直线回归处理,得到表 1 和图 1 结果。结果指出,所用氧化剂中,以硫酸高铈的增敏效果最佳,如果在硫酸高铈溶液中,加入溴酸钾,则测定钌灵敏度更有明显的提高。本研究选定 1 mol/l 1 HNO3+0.02 mol/l 1 Ce(1 C

为测定钌的理想体系。在此混合液中,测得钌的灵敏度(特征浓度)为 $0.051\mu g/ml$ ,检出极限(2倍标准偏差)为 $0.02\mu g/ml$ 。测量 $1.0、0.5\mu g/ml$ 的钌溶液10次,得到的变异系数分别是1.2%和2.1%。

#### 2. 溶液介质的影响

Ce<sup>4+</sup>易水解,会生成碱式盐沉淀,所以硫酸高铈不适于在中性或碱性介质中 使用。Cl<sup>-</sup>可以将Ce<sup>4+</sup>还原为 Ce<sup>3+</sup>,故不宜用盐酸 溶 液为介质。Ce<sup>4+</sup>/Ce<sup>3+</sup> 体系的氧化电位值依赖于酸度和溶液中存在的阴离子<sup>[7]</sup>,因此,体 系中酸的种类和浓度都将影响钌的灵敏度。实验结果表明,在硫酸高铈和溴酸钾浓度均为0.02

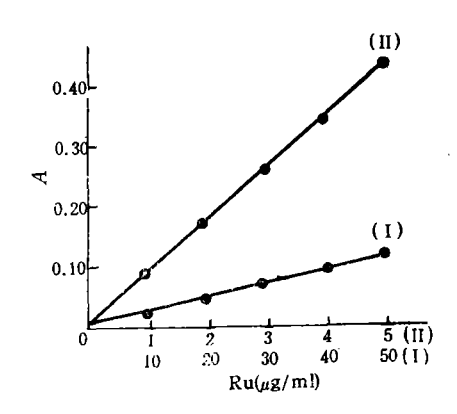


图 1 钌的标准曲线

Fig. 1 Standard curve for ruthenium I .1mol/1 HNO3, I .1mol/1 HNO3+
0.02mol/1 Ce(SO4)2+0.02mol/1 KBrO3

mol/L的混合液中,当硝酸浓度为0.5mol/1 时,由于Ce<sup>4+</sup>水解产生沉淀而影响钌的测定,当硝酸浓度在1—2 mol/1 范围内,钌的灵敏度较高并保持恒定,此后,钌灵敏度随硝酸浓度的增加而降低,当硝酸浓度为4mol/1,灵敏度下降17%。根据文献[8],硝酸浓度为1和4mol/1时,Ce<sup>4+</sup>/Ce<sup>3+</sup>体系的氧化电位均为1.61V。显然,硝酸浓度变化所导致钌灵敏度的改变,并不是由于体系的氧化电位值引起的。测得硝酸浓度分别为1和 4mol/L的硫酸高铈和溴酸钾混合溶液中的提升量分别为7.5与 6.3ml/min,后者比前者降低16%,此值与灵敏度降低值相一致。

图 2 是在硫酸高铈和溴酸钾混合溶液中,1 mol/L 战酸和1 mol/L 硫酸对钌的影响情况。由图求得曲线 1 (HNO<sub>3</sub>)和 2 (H<sub>2</sub>SO<sub>4</sub>)的灵敏度比值为1.24。测得上述溶液的提升量分别为7.4和6.2 ml/min,其比值是1.19。两个比值基本一致,说明硝酸和 硫酸对测定钌的影响,是由于溶液提升量不同引起的。

#### 3. 反应速率和稳定性

Ce4+还原为Ce3+时,只有一个电子转移,不生成中间价态的产物,反应简单,副

蹇 1 氧化剂对钌灵敏度的影响

Table 1	Effect of	oxidants		sensitivity	of Ru	thenium
		 	_	<del></del>		1

氧	化	刔	回 归 方 程	相关系数	灵 敏 度 (μg/ml)	灵敏度 提高倍数*
1 mol/L HNOs			y = 0.00234x - 0.001	0.9997	1.9	
NaI	3iOs		_	-	0.18	10
0.1mol/L ()	NH4)2S2O	8	y = 0.0403x + 0.0089	0.9998	0.11	17
0.1 mol/L K	IO4		y = 0.0452x + 0.0244	0.9999	0.097	19
0.01mol/L ]	KBrO₃		y = 0.0451x + 0.0161	0.9934	0.097	19
0.01 mol/L	Ce(SO <sub>4</sub> ) <sub>2</sub>		y = 0.0536x + 0.024	0.9987	0.082	23
0.01mol/L Ce(S	O <sub>4</sub> ) <sub>2</sub> +0.0	1mol/L KBr	y = 0.0789x + 0.0127	0.9993	0.056	33
0.01mol/L Ce(S	O <sub>4</sub> ) <sub>2</sub> +0.0	2mol/L KBr	y = 0.0813x + 0.0197	0.9999	0.054	35
0.02mol/L Ce(S	O <sub>4</sub> ) <sub>2</sub> +0.0	2mol/L KBr	y = 0.0847x - 0.017	0.9996	0.051	37
0.02mol/L Ce(S	O4)2+0.0	3mol/L KBr	y = 0.0860x + 0.0038	0.9997	0.051	37

<sup>\*</sup> 与测定溶液中不加氧化剂的灵敏度作比较。

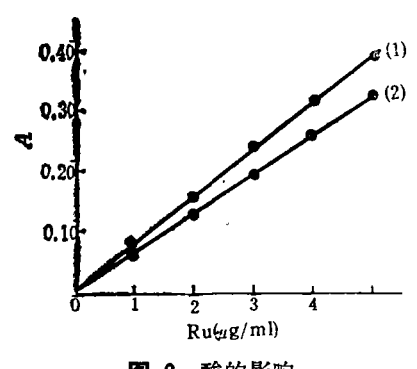


图 2 酸的影响 (1)HNO<sub>3</sub> (2)H<sub>2</sub>SO<sub>4</sub> Fig.2 Effect of acid type

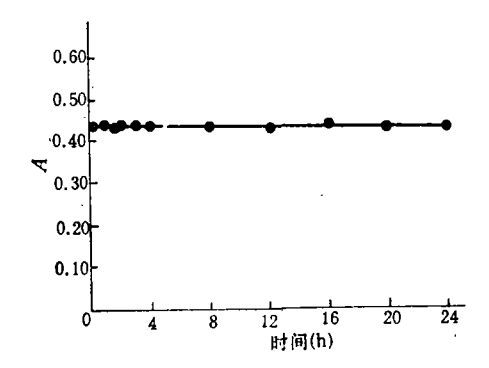


图 3 反应时间对吸光度影响 Fig.3 Effect of reaction time on absorbance

反应少 $^{(8)}$ 。实验表明,硫酸高铈与溴酸钾混合溶液使  $Ru^{3+}$ 氧化为 $RuO_{4}$ 的反应是快速的,试剂混合后立即达到平衡,反应至少可以稳定24h。图3是对1mol/L- $HNO_{3}+0.02mol/L$   $Ce(SO_{4})_{2}+0.02mol/L$   $KBrO_{3}+5\mu g/ml$   $Ru^{3+}$ 混合溶液的测量结果。

#### 4. 四氢化钌的确认

硫酸高铈和溴酸钾混合溶液能否氧化Ru³+成RuO₄,有待实验证实。如上所述,四氧化钌是极易挥发的共价化合物,很容易以氧化物形式分离。我们在文献[9]的基础上,提出分离RuO₄的方法,以证实RuO₄的存在。

将10ml溶液(1)(1mol/L HNO<sub>3</sub>+0.02mol/L Ce(SO<sub>4</sub>)<sub>2</sub>+0.02mol/L KBrO<sub>3</sub>+50µg Ru)或溶液(2)(1mol/L HNO<sub>3</sub>+50µg Ru<sup>3+</sup>)放入蒸馏瓶中,在吸收管内加入10ml 吸收液(2mol/L HNO<sub>3</sub>+0.04mol/L Ce(SO<sub>4</sub>)<sub>2</sub>+0.04mol/L KBrO<sub>3</sub>)。在电炉上慢慢加热,使溶液沸腾10min。待吸收管内的溶液体积增至约 18ml时,停止蒸馏。取出吸收管,用蒸馏水稀释至 20ml。将残留的溶液(1)用蒸馏水定容至 10ml,在残留的蒸馏溶液(2)中加入硫酸高铈和溴酸钾溶液,用蒸馏水定容至10ml。最后用原子吸收光谱法测定上述溶液的钌含量。结果表明,当蒸馏溶液(1)时,在吸收液中测得钌

 $37\mu g$ ,在残留液中未测出钌,两项只回收钌74%,可能是因为蒸馏速率太快,致使一部分  $RuO_4$ 未被吸收而逸出。当蒸馏溶液(2)时,在吸收液中未测出钌,但在残留液中测得钌 $48.7\mu g$ ,回收率达97.4%。以上实验足以说明,在蒸馏溶液(1)中确实存在易挥发的 $RuO_4$ ,而在蒸馏溶液(2)中,由于缺少硫酸高铈等氧化剂而不能使  $Ru^{8+}$ 氧化为 $RuO_4$ ,所以在吸收液中未能测得钌。

#### 5. 共存离子的影响

 $K^+$ ,  $Na^+$ ,  $Ca^{2+}$ ,  $Mg^{2+}$ ,  $SO_2^{2-}$ ,  $Cl^-$ ,  $HCO_3^-$ ,  $CO_2^{2-}$  可认为是天然水中含量最多的几种离子,其量占所含离子总量的95—99%  $^{(10)}$ . 为探究本方法的实用,试验了水中存在上述离子对测定钌含量的影响。结果表明,存在50mg/ml的 $K^+$ ,  $SO_2^{2-}$ , 10mg/ml的 $Na^+$ ,  $Ca^{2+}$ ,  $Mg^{2+}$ 不影响钌的测定,当溶液中存在1mg/ml  $Cl^-$ 时对钌的吸收没有影响,但随着 $Cl^-$ 浓度的增加,钌的吸收逐渐降低。当  $Cl^-$ 浓度高达 100mg/ml 时,钌的吸收信号几乎完全消失,并伴有大量氯气放出,这说明溶液中的氧化剂已被大量  $Cl^-$ 耗尽,同时 $Cl^-$ 也使  $RuO_4$ 还原成 $Ru^{3+}$   $^{(11)}$ 。所以在大量  $Cl^-$ 存在下,钌的吸收甚微,其灵敏度和纯钌溶液相当。在天然水中, $Cl^-$ 的含量一般不超过  $10\mu g/ml$ ,因此,不影响本方法对钌的测定。在1mol/L  $HNO_3$ 中, $HCO_3$ 和 $CO_2^2$ 一将以  $CO_2$  形式逸出,它们的实际含量甚微,不会影响钌的测定。

#### 6. 河水中钉的测定

河水中主要含 $K^+$ ,  $Na^+$ ,  $Ca^{2+}$ ,  $Mg^{2+}$ ,  $SO_s^{2-}$ ,  $Cl^-$ ,  $HCO_s^-$ 等离子, 这些离子的总量一般不超过  $300\mu g/ml$ 。根据上节共存 离子 试验 结果, 即使将河水样品浓缩10倍, 上述离子也不影响钌的测定。由于天然水中含钌甚微, 不易测定其含量。为考查本法在测定河水中微量钌的准确度及可能性, 我们进行了水样加标回收试验。将水 样 浓缩 10倍, 控制硝酸浓度为1mol/L, 硫酸高铈和溴酸钾浓度均为0.02mol/L,用标准曲线法测定钌,结果见表 2。可见, 本法可准确测定含钌为 $0.05\mu g/ml$ 的水样。

试 样 测得 Ru 加入 Ru 测得总Ru 回收率(%) A2 滤水 0 0.05 0.051 102 0.10 0.10 100 A<sub>2</sub> 原水 0 0.05 0.048 96 0 0.10 0.102 102 A3 原水 0.05 0.047 94 0 0.096 96 0 0.10 As 原水 0.049 98 0 0.05 A7 原水 0.05 0.048 96 A<sub>9</sub> 原水 0.05 0.049 98

表 2 河水中钌的测定结果\*(μg/m¹)

Table 2 Results of determination of ruthenium in river water

\* 3 次结果平均值

#### 多考文献

<sup>〔1〕</sup>郭景儒, 黄浩新, 1981。 裂变产物分析。原子能出版社, 253

<sup>[2]</sup> Scarborugh J M, 1969. Anal. Chem., 41:250

- [3] Rowston W B, Ottaway J M, 1970. Anal. Lett., 3:411
- (4) El-Defrawy M M M et al., 1978. Anal. Chim. Acta., 102:185
- [5] Schwab M R et al., 1978. At Absorpt. Newsl., 10:15
- 〔6〕申泮文,1960. 无机化学简明教程,人民教育出版社,421
- [7] 柯尔蜀夫 I M著,梁树权译, 1963。容量分析。科学出版社, 108
- [8] 武汉大学分析化学教研室, 1977。化学分析(下册)。 人民教育出版社, 137
- [9] 同上, 242-244
- [10] 陈静生, 1987。水环境化学。高等教育出版社, 45-46
- [11] 曹忠良, 1982。 无机化学反应方程式手册。湖南科技出版社, 380

1988年12月12日收到。

# DETERMINATION OF TRACE RUTHENIUM IN WATER BY ATOMIC ABSORPTION SPECTROMETRY

Huang Ganquan Qian Shahua
(Department of Environmental Science, Wuhan University)

#### **ABSTRACT**

The effects of a number of oxidants on the sensitivity of ruthenium were examined. The results show that the sensitivity of ruthenium increased. 10,17, 19, 19, 23 and 37 times after adding NaBiO<sub>3</sub>, (NH<sub>4</sub>)<sub>2</sub>S<sub>2</sub>O<sub>8</sub>, KIO<sub>4</sub>, KBrO<sub>3</sub>, Ce(SO<sub>4</sub>)<sub>2</sub>, and Ce(SO<sub>4</sub>)<sub>2</sub> + KBrO<sub>3</sub> to ruthenium trichloride solution, respectively. The characteristic concentration of ruthenium is 0.051  $\mu$ g/ml, and the detection limit is 0.02 $\mu$ g/ml. The coefficients of variation for ten measurements of 0.5 and 1.0 $\mu$ g/ml Ru were 1.2 and 2.1%, respectively. No interference was observed in the presence of 50mg/ml K<sup>+</sup>, SO<sub>4</sub><sup>2-</sup>, 10 mg/ml Na<sup>4</sup>, Ca<sup>2+</sup>, Mg<sup>2+</sup> and 1mg/ml Cl<sup>-</sup>. The mechanism of the action of oxidant is investigated. Trace ruthenium in river water has been determined with satisfactory results.